

Relatório

Gabriel Renato

Julho 2020

1 Dinâmica física do sistema

Equações matemáticas que serão utilizadas como base para simular o comportamento do bicoptero.

$$a\ddot{\theta}_4(t) + b\dot{\theta}_4(t) + c\theta_4(t) = L_1 f_1(t) - L_2 f_2(t) \quad (1)$$

$$\ddot{f}_i(t) + p\dot{f}_i(t) + qf_i(t) = r(pwm_i(t)), \quad i = 1, 2 \quad (2)$$

As constantes presentes nas equações (1) e (2) são definidas na tabela 1.

Constante	Valor
a - Momento de inercia ($kg \cdot m^2$)	0.0187
b - Coeficiente de atrito dinâmico ($kg \cdot m^2/s$)	0.0495
c - Desalinhamento ($C_g - CIR$) ($kg \cdot m^2/s^2$)	0.6925
L_1 - Comprimento do braço esquerdo (m)	0.225
L_2 - Comprimento do braço direito (m)	0.215
p - Coeficiente determinado experimentalmente	5.348
q - Coeficiente determinado experimentalmente	13.43
r - Coeficiente determinado experimentalmente	1.319

Table 1: Constantes presentes nas equações (1) e (2)

2 Controladores

Nessa seção serão descritos alguns controladores projetados para controlar a dinâmica modelada nas equações (1) e (2).

2.1 LQR

2.1.1 Modelo Matemático simplificado adotado para projeto

$$f_1(t) = -f_2(t) = f(t) \quad (3)$$

$$a\ddot{\theta}_4(t) + b\dot{\theta}_4(t) + c\theta_4(t) = (L_1 + L_2)f(t) \quad (4)$$

$$pwm(t) = \frac{q}{r}f(t) \quad (5)$$

Pode-se notar que foi considerada uma única entrada que aplicada positivamente no motor 1 e negativamente no motor 2.

2.1.2 Modelo no espaço de estados a tempo contínuo

- Estados(n):
 - $x_1 = \theta_4(t)$: Posição angular
 - $x_2 = \dot{\theta}_4(t)$: Velocidade angular
- Variáveis manipuladas(p):
 - $u_1 = f(t)$: força de empuxo
- Variáveis controladas(q):
 - $y_1 = x_1$

$$\begin{aligned}\dot{\mathbf{x}}(t) &= \underbrace{\begin{bmatrix} 0 & 1 \\ -c/a & -b/a \end{bmatrix}}_A \mathbf{x}(t) + \underbrace{\begin{bmatrix} 0 \\ (L_1 + L_2)/a \end{bmatrix}}_B \mathbf{u}(t) \\ \mathbf{y}(t) &= \underbrace{\begin{bmatrix} 1 & 0 \end{bmatrix}}_C \mathbf{x}(t)\end{aligned}\tag{6}$$

Onde:

- $A \in \mathbb{R}^{n \times n}$ - Matriz dos estados;
- $B \in \mathbb{R}^{n \times p}$ - Matriz das entradas;
- $C \in \mathbb{R}^{q \times n}$ - Matriz das saídas.

2.1.3 Modelo no espaço de estados a tempo discreto

$$\begin{aligned}\mathbf{x}(k+1) &= \Phi \mathbf{x}(k) + \Gamma \mathbf{u}(k) \\ \mathbf{y}(k) &= C \mathbf{x}(k)\end{aligned}\tag{7}$$

Obtido discretizando (6) para um período de amostragem de Ts segundos.

2.1.4 Lei de controle

Adota-se um controle por realimentação de estados, isto é,

$$\mathbf{u}(k) = -K \mathbf{x}(k)\tag{8}$$

A matriz de ganhos (K) é obtida minimizando a seguinte função de custo:

$$\mathbf{J} = \sum_{k=0}^{\infty} (\mathbf{x}^T(k) Q \mathbf{x}(k) + \mathbf{u}^T(k) R \mathbf{u}(k))\tag{9}$$

Em que:

- $Q \in \mathbb{R}_*^{n \times n}$ - Matriz de peso simétrica dos estados ($Q = \text{diag}(\mu_1, \mu_2, \dots, \mu_n)$);
- $R \in \mathbb{R}_*^{p \times p}$ - Matriz de peso simétrica das entradas ($R = \text{diag}(\rho_1, \rho_2, \dots, \rho_p)$).

Esse problema de otimização não está no escopo deste relatório. Para isso utilizaremos a função **dlqr** do MATLAB pois quando passados como parâmetros as matrizes Φ , Γ , Q e R retorna a resposta para esse problema, que é a matriz de ganhos (K).

Como os sinais de entrada da dinâmica real da planta são dois sinais PWM utilizamos as equações (3) e (5) que descrevem uma relação simplificada entre força e PWM para converter o sinal, onde a verdadeira ação de controle aplicada é,

$$\mathbf{w}(k) = \begin{bmatrix} \frac{q}{r}\mathbf{u}(k) & -\frac{q}{r}\mathbf{u}(k) \end{bmatrix} \quad (10)$$

2.2 Alocação dinâmica dos polos de malha fechada

Os modelos adotados para projeto são os mesmos descritos para o LQR de 2.1.1 a 2.1.3

2.2.1 Lei de controle

Adota-se um controle por realimentação de estados, isto é,

$$\mathbf{u}(k) = -K\mathbf{x}(k) \quad (11)$$

A matriz de ganhos (K) é obtida de forma que os polos de MF sejam iguais aos desejados, isto é,

$$|zI_n - (\phi - \Gamma K)| = \underbrace{z^n + \alpha_1 z^{n-1} + \alpha_2 z^{n-2} + \dots + \alpha_n}_{p.c.} = 0 \quad (12)$$

Sendo que o polinômio característico (p.c.) é obtido a partir da localização dos polos desejados de MF que por sua vez são escolhidos com base dos requisitos de projeto (Overshoot, settling time, rise time).

A matriz de ganhos (K) é obtida rapidamente utilizando a função **acker** do MATLAB pois quando passados como parâmetros as matrizes Φ , Γ e os polos desejados, retorna a matriz de ganhos (K) que satisfaz a equação (12).

A verdadeira ação de controle aplicada na planta é obtida conforme a equação (10).

2.3 Compensador LAG

2.3.1 Modelo Matemático simplificado adotado para projeto

Modelo descrito pelas equações 1 e 2, porem com a adição da seguinte simplificação:

$$pwm_1(t) = -pwm_2(t) = u(t) \quad (13)$$

2.3.2 Função de transferência a tempo contínuo

O compensador foi projetado com base na resposta em frequência da função de transferência a tempo contínuo do modelo. A função de transferência é obtida aplicando transformada de Laplace as equações (1), (2) e (13) para condições iniciais nulas.

$$\Theta(s) = \frac{1}{\underbrace{as^2 + bs + c}_{G(s)}} (L_1 F_1(s) - L_2 F_2(s)) \quad (14)$$

$$F_i(s) = \frac{r}{\underbrace{s^2 + ps + q}_{H(s)}} (PWM_i(s)), \quad i = 1, 2 \quad (15)$$

$$PWM_1(s) = U(s), \quad PWM_2(s) = -U(s) \quad (16)$$

Substituindo adequadamente as equações (14) e (15) em (14) obtém-se a função de transferência de malha aberta de toda a planta.

$$\frac{\Theta(s)}{U(s)} = G(s)(L_1 + L_2)H(s) \quad (17)$$

2.3.3 Resposta em frequência

Diagrama de bode da função de transferência descrita em (17).

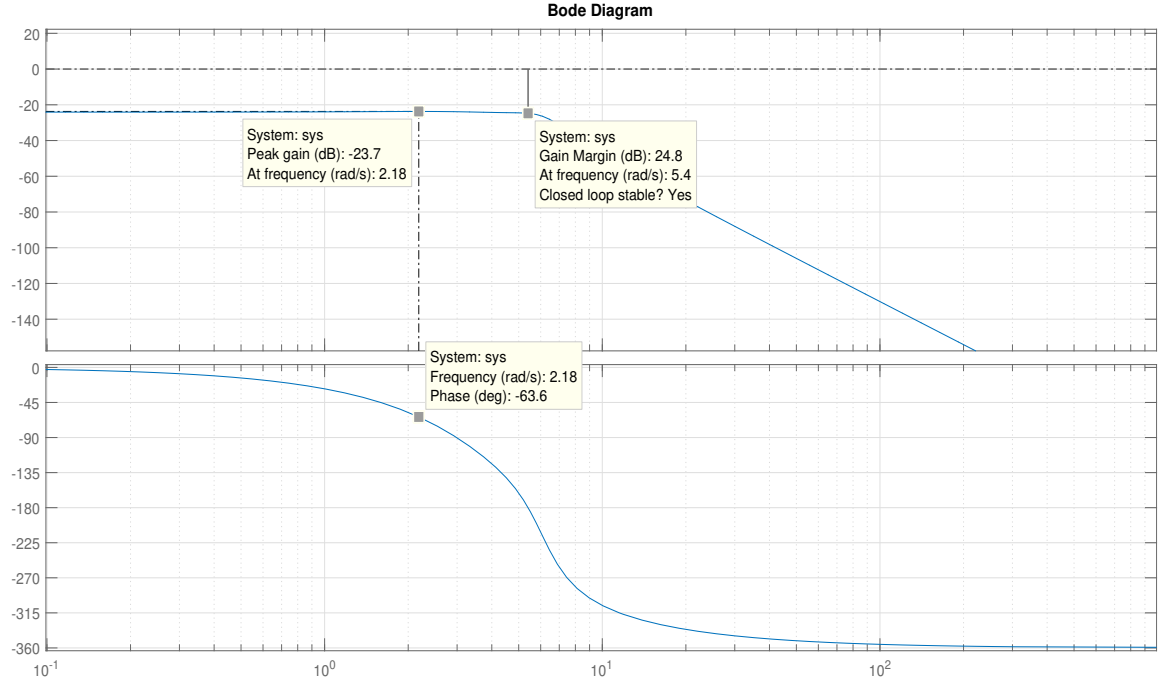


Figure 1: Diagrama de bode do sistema

Observa-se que o sistema possui uma constante de erro de posição de $20\log(K_p) = -23.7dB$.

Para analisar se a emulação do compensador é possível a seguinte razão deve ser satisfeita.

$$\frac{w_s}{w_c} \geq 30 \quad (18)$$

Onde

w_s —Frequência de amostragem ($w_s = 2\pi/T_s$)

w_c —Frequência de corte

A frequência de amostragem é obtida para um período de amostragem (T_s) de 0.02 segundos. Logo,

$$\begin{aligned} \frac{w_s}{w_c} &= \frac{2\pi}{0.02 \cdot w_c} \geq 30 \\ w_c &\leq 10.47 rad/s \end{aligned}$$

Ou seja, o controlador discreto obtido por emulação pode ser empregado seguramente desde que a frequência de corte seja menor que 10.47 rad/s para um período de amostragem de 0.02 segundos.

2.3.4 Lei de controle

A função de transferência do compensador LAG é,

$$C_{LAG}(s) = \frac{s+a}{s+b}, \quad a > b \quad (19)$$

Com base na resposta em frequência da figura 1, projetou-se um compensador do tipo LAG de forma que o erro de regime seja menor que 5%, ou seja, a constante de erro de posição deve ser maior que 19 (25dB). Com base nisso optou-se que o zero do LAG fosse pelo menos mil vezes maior que o polo isto é,

$$C_{LAG}(0) = \frac{a}{b} = 1000$$

Definindo arbitrariamente, $a=7$, tem-se que

$$\frac{7}{b} = 1000 \rightarrow b = 0.007$$

Posteriormente ajustou-se o ganho do sistema para obter uma margem de fase (PM) de aproximadamente 60deg ($\xi = 0.6$) que corresponde a um overshoot de aproximadamente 10%.

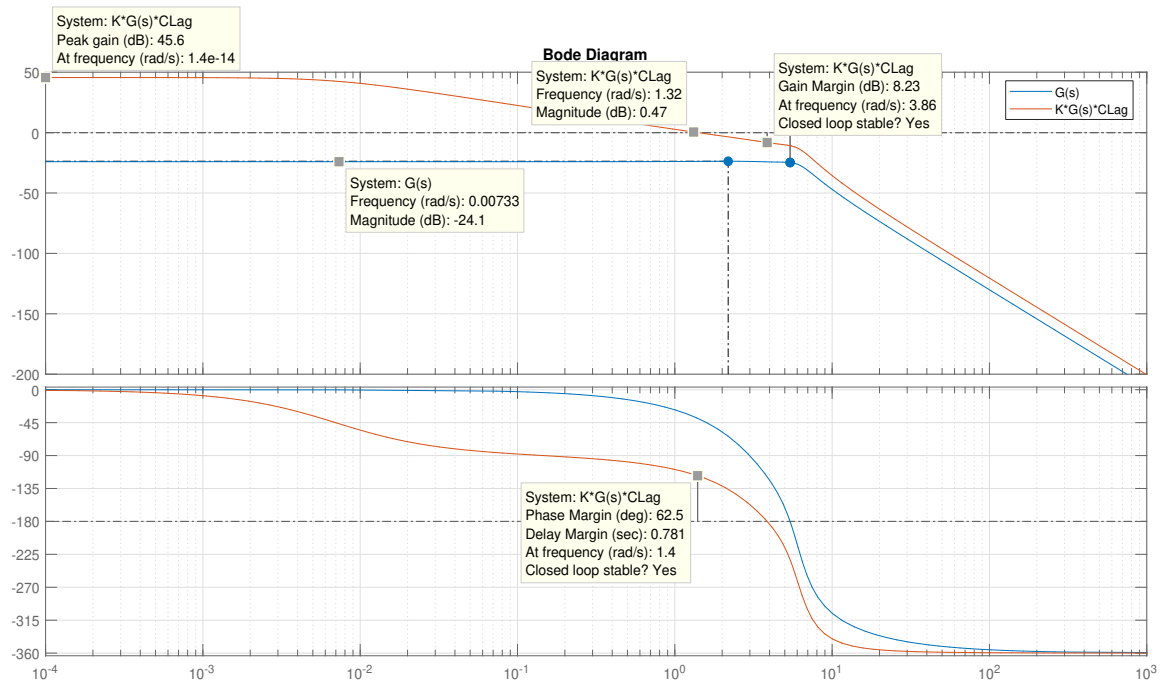


Figure 2: Diagrama de bode do sistema com o compensador

Ou seja o compensador final a tempo contínuo é dado por:

$$C_{LAG}(s) = 3.0456 \frac{s+7}{s+0.007} \quad (20)$$

A frequência de corte do sistema com compensador é 1.4 [rad/s] portanto a emulação é possível e o compensador final a tempo discreto emulado via Tustin é dado por:

$$C_{LAG}(z) = \frac{3.259z - 2.832}{z - 0.9999} \quad (21)$$

A lei de controle pode ser reescrita em uma equação a diferenças obtida aplicando transformada Z inversa no compensador discreto (21), o que resulta em,

$$\begin{aligned} \mathbf{u}(k) &= 0.9999 \cdot \mathbf{u}(k-1) + 3.258 \cdot \mathbf{e}(k) - 2.832 \cdot \mathbf{e}(k-1) \\ \mathbf{e}(k) &= \text{referencia} - \theta_4(k) \end{aligned} \quad (22)$$

Onde a verdadeira ação de controle aplicada é,

$$\mathbf{w}(k) = [\mathbf{u}(k) \quad -\mathbf{u}(k)] \quad (23)$$

3 Simulações e sugestões para implementação

Todas as simulações foram feitas considerando ruído de medida de posição com dispersão de $\pm 0.025 \text{ rad}$ e ruído de medida de velocidade com dispersão de $\pm 0.14 \text{ rad/s}$, além disso também adotou-se um atraso de transporte de 0.01 segundos.

3.1 LQR

Para os parâmetros,

$$\begin{aligned} Q &= \text{diag}([1, 2]) \\ R &= 100 \end{aligned}$$

Obtém-se uma matriz de ganhos de,

$$K = \begin{bmatrix} -0.0222 \\ 0.0659 \end{bmatrix}$$

3.1.1 Implementação

Para introduzir referencia (r) adote,

$$x_{ss} = \begin{bmatrix} -0.0222 \\ 0.0659 \end{bmatrix} r, \quad u_{ss} = 1.5739 \cdot r$$

A implementação da lei de controle em c++

$$\begin{aligned} uk &= -K[0] \cdot (x1 - x_{ss}[0]) - K[1] \cdot (x2 - x_{ss}[1]) + u_{ss}; \\ wk &= \frac{13.43}{1.319} \cdot uk; // \text{forca} - \text{pwm} \\ & // \text{saturação} \\ wk &= \min(wLim[1], wk); \\ wk &= \max(wLim[2], wk); \end{aligned}$$

Em que $x1$ e $x2$ são respectivamente, posição angular e velocidade angular de θ_4 lidos pelo sensor X e wk e $-wk$ são respectivamente os PWM's aplicados nos motores 1 e 2.

3.1.2 Resultados

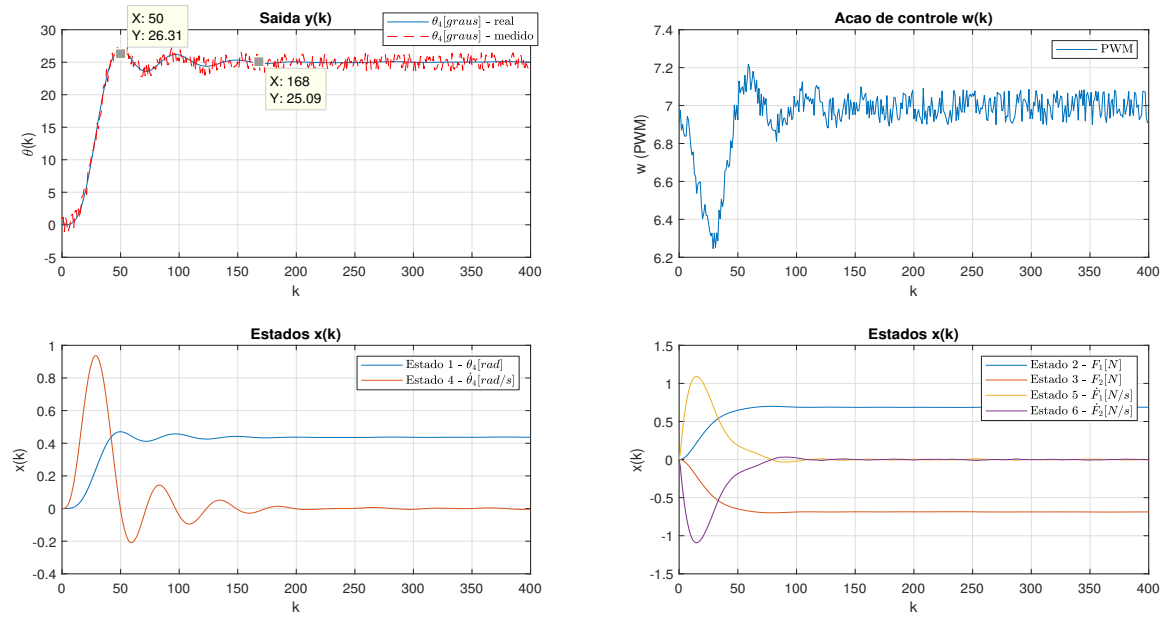


Figure 3: Resultado para referência em 25° .

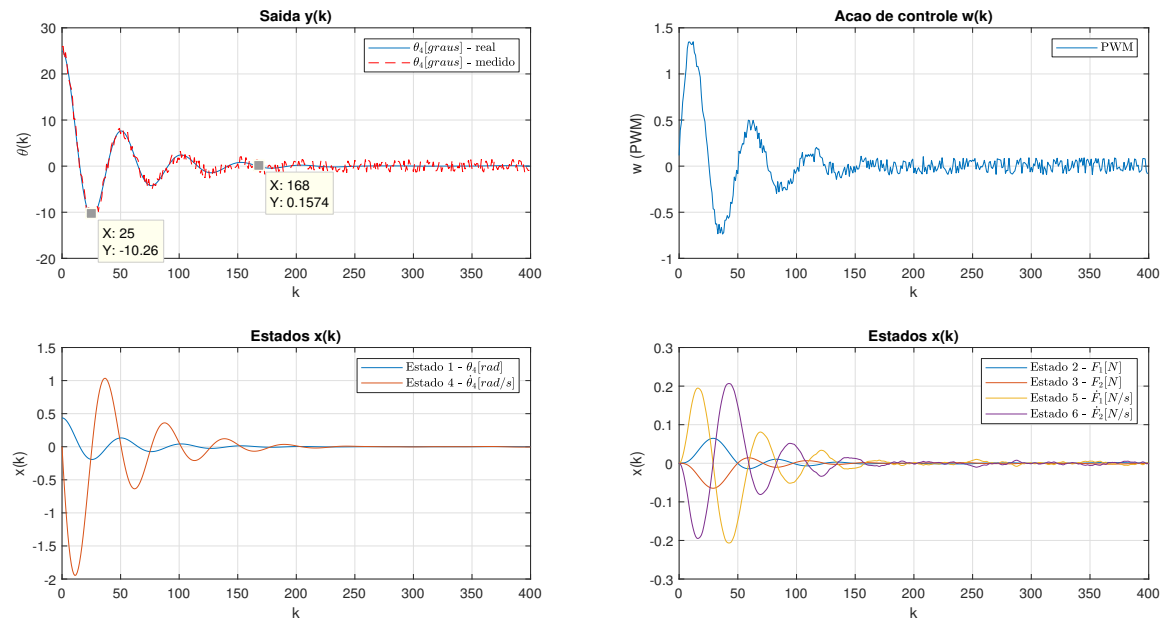


Figure 4: Resultado para referência em 0° e condição inicial de 25° .

3.2 Alocação de polos em MF

Para os parâmetros,

$$polos = [0.92 \quad 0.93]$$

Obtém-se uma matriz de ganhos de,

$$K = \begin{bmatrix} -0.9622 \\ 0.1935 \end{bmatrix}$$

3.2.1 Implementação

Para introduzir referencia (r) adote,

$$xss = \begin{bmatrix} -0.0222 \\ 0.0659 \end{bmatrix} r, \quad uss = 1.5739 \cdot r$$

A implementação da lei de controle em c++

$$\begin{aligned} uk &= -K[0] \cdot (x1 - xss[0]) - K[1] \cdot (x2 - xss[1]) + uss; \\ wk &= \frac{13.43}{1.319} \cdot uk; // forca - pwm \\ & // saturação \\ wk &= \min(wLim[1], wk); \\ wk &= \max(wLim[2], wk); \end{aligned}$$

Em que $x1$ e $x2$ são respectivamente, posição angular e velocidade angular de θ_4 lidos pelo sensor X e wk e $-wk$ são respectivamente os PWM's aplicados nos motores 1 e 2.

3.2.2 Resultados

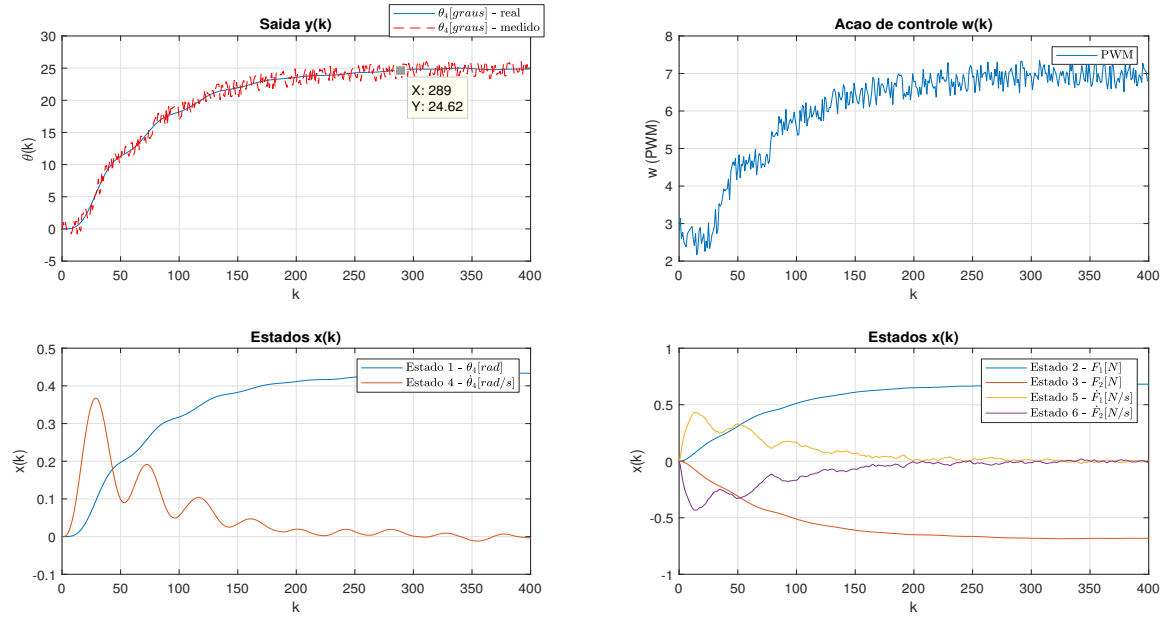


Figure 5: Resultado para referencia em 25° .

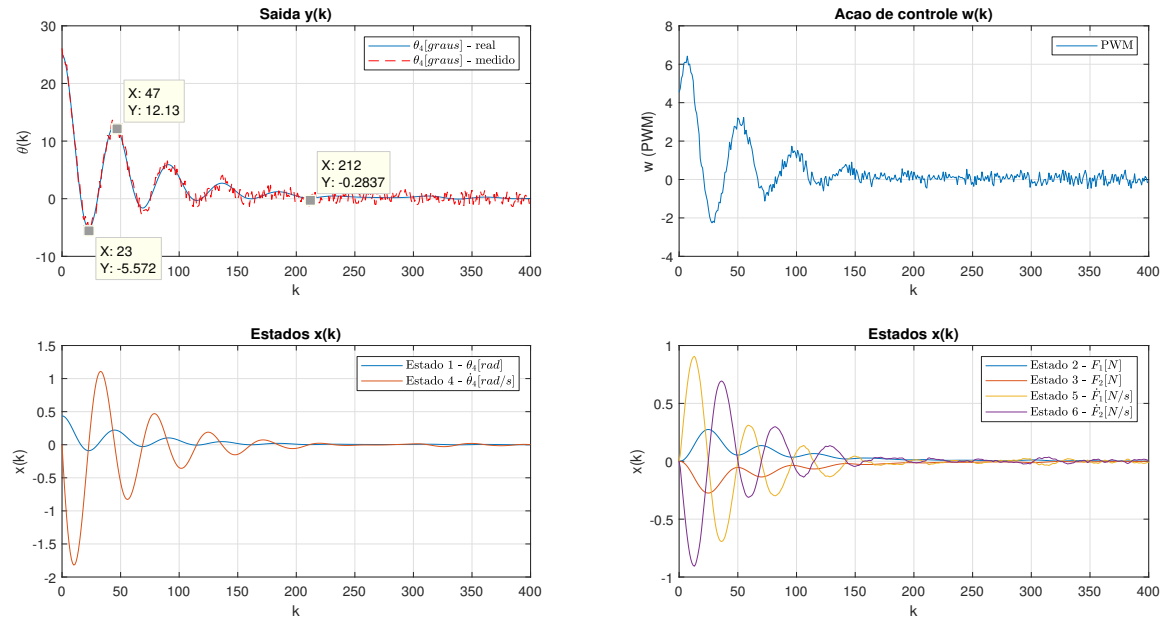


Figure 6: Resultado para referencia em 0° e condição inicial em 25° .

3.3 Compensador LAG

3.3.1 Implementação

A implementação da lei de controle em c++

```
ekm1 = ek;  
ek = r - x1;  
wkm1 = wk;  
wk = 0.9999 · wkm1 + 3.259 · ek - 2.832 · ekm1;  
//saturação  
wk = min(wLim[1], wk);  
wk = max(wLim[2], wk);
```

Em que x_1 é a posição angular de θ_4 lido pelo sensor X e wk e $-wk$ são respectivamente os PWM's aplicados nos motores 1 e 2. Note que nessa estratégia de controle não é necessária a conversão de força para PWM.

3.3.2 Resultados

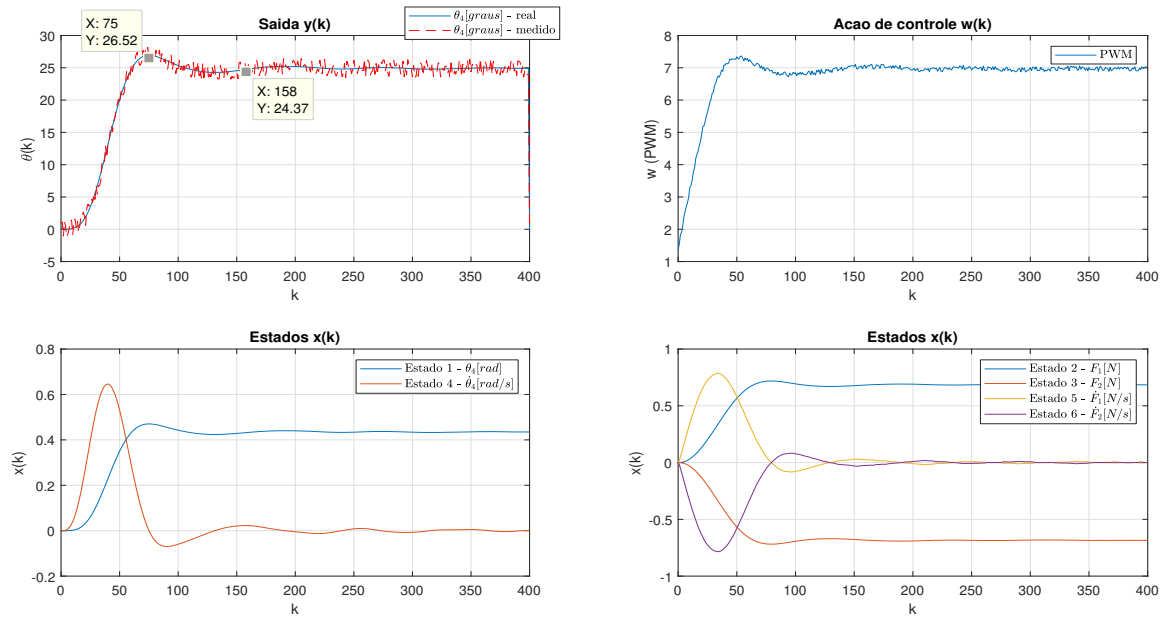


Figure 7: Resultado para referencia em 25°.

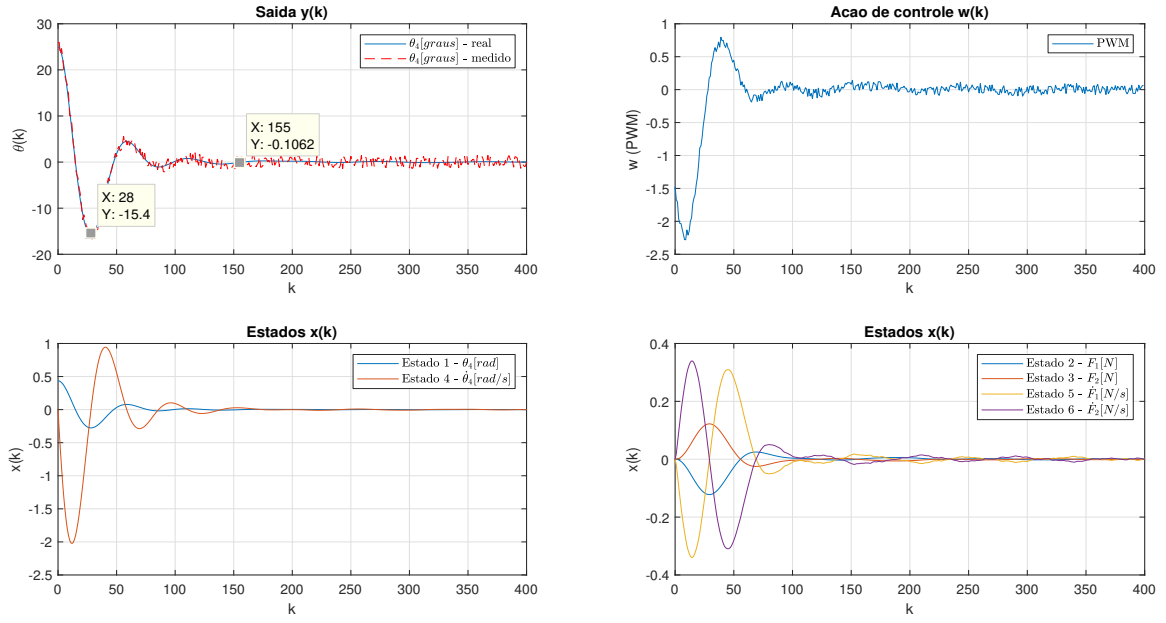


Figure 8: Resultado para referencia em 0° e condição inicial em 25°